

CAPÍTULO 4 – Volume 1

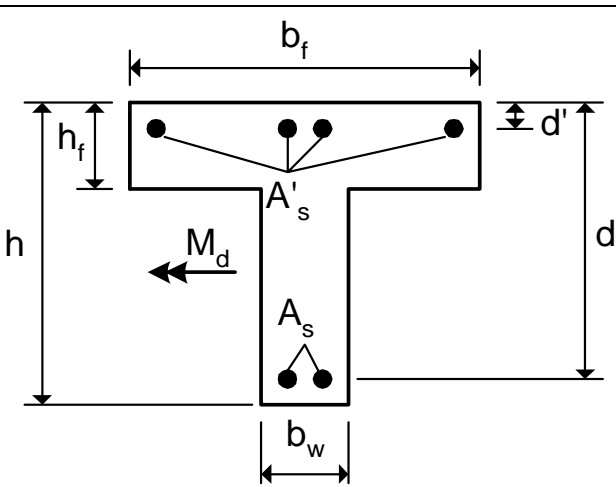
FLEXÃO NORMAL SIMPLES

Dimensionamento de Seções T

Prof. José Milton de Araújo - FURG

1

4.1 - Geometria da seção transversal



b_w = largura da nervura;
 b_f = largura da mesa;
 h = altura total da seção;
 h_f = espessura da mesa;
 d = altura útil da seção;
 d' = distância do centróide de A'_s até a borda comprimida;
 M_d = momento fletor de cálculo.

Valores requeridos:

A_s = área da armadura tracionada; A'_s = área da armadura comprimida.

4.2 - Determinação do momento limite

| | |
|---|--|
| <p><u>Restrição:</u> $h_f < \lambda x_{\text{lim}}$</p> | <p>Sem redistribuição de esforços:</p> <p>$f_{ck} \leq 35 \text{ MPa}:$ $\xi_{\text{lim}} = 0,45$</p> <p>$f_{ck} > 35 \text{ MPa}:$ $\xi_{\text{lim}} = 0,35$ $x_{\text{lim}} = \xi_{\text{lim}} d$</p> <p>Adimensionais β_f e β_w:</p> $h_f = \beta_f d ; \quad b_w = \beta_w b_f$ |
| $A_f = b_f h_f ; \quad A_{w\text{lim}} = b_w (\lambda x_{\text{lim}} - h_f) ; \quad Z_f = d - 0,5 h_f ;$ $Z_{w\text{lim}} = d - 0,5 (\lambda x_{\text{lim}} + h_f)$ | |

Prof. José Milton de Araújo - FURG

3

Introduzindo os adimensionais, resulta:

$$A_f = \beta_f b_f d ; \quad A_{w\text{lim}} = \beta_w (\lambda \xi_{\text{lim}} - \beta_f) b_f d$$

$$Z_f = (1 - 0,5 \beta_f) d ; \quad Z_{w\text{lim}} = [1 - 0,5 (\lambda \xi_{\text{lim}} + \beta_f)] d$$

Resultante de compressão:

$$R_{cc\text{lim}} = (A_f + A_{w\text{lim}}) \sigma_{cd} ; \quad \sigma_{cd} = \alpha_c f_{cd}$$

$$R_{cc\text{lim}} = r_{cc\text{lim}} b_f d \sigma_{cd} ; \quad r_{cc\text{lim}} = \beta_f + \beta_w (\lambda \xi_{\text{lim}} - \beta_f)$$

Prof. José Milton de Araújo - FURG

4

Momento fletor limite:

$$M_{d\lim} = (A_f Z_f + A_w \lim Z_w \lim) \sigma_{cd} ; \quad M_{d\lim} = \mu_{\lim} b_f d^2 \sigma_{cd}$$

$$\mu_{\lim} = \beta_f (1 - 0,5 \beta_f) + \beta_w (\lambda \xi_{\lim} - \beta_f) [1 - 0,5 (\lambda \xi_{\lim} + \beta_f)]$$

Os valores de $r_{cc\lim}$ e μ_{\lim} podem ser obtidos nas tabelas 4.2.1 e 4.2.2.

Essas tabelas são válidas apenas para os concretos do grupo I.

Para concretos do grupo II, usar as equações.

Tabela 4.2.1(a) - Valores de $r_{cc\lim}$ para seção T ($f_{ck} \leq 35$ MPa)

| $\beta_w \downarrow$ | $\beta_f \downarrow$ | | | | | | |
|----------------------|----------------------|------|------|------|------|------|------|
| | 0,10 | 0,12 | 0,14 | 0,16 | 0,18 | 0,20 | 0,22 |
| 0,04 | 0,11 | 0,13 | 0,15 | 0,17 | 0,19 | 0,21 | 0,23 |
| 0,06 | 0,12 | 0,13 | 0,15 | 0,17 | 0,19 | 0,21 | 0,23 |
| 0,08 | 0,12 | 0,14 | 0,16 | 0,18 | 0,19 | 0,21 | 0,23 |
| 0,10 | 0,13 | 0,14 | 0,16 | 0,18 | 0,20 | 0,22 | 0,23 |
| 0,12 | 0,13 | 0,15 | 0,17 | 0,18 | 0,20 | 0,22 | 0,24 |
| 0,14 | 0,14 | 0,15 | 0,17 | 0,19 | 0,21 | 0,22 | 0,24 |
| 0,16 | 0,14 | 0,16 | 0,18 | 0,19 | 0,21 | 0,23 | 0,24 |
| 0,18 | 0,15 | 0,16 | 0,18 | 0,20 | 0,21 | 0,23 | 0,25 |
| 0,20 | 0,15 | 0,17 | 0,18 | 0,20 | 0,22 | 0,23 | 0,25 |
| 0,22 | 0,16 | 0,17 | 0,19 | 0,20 | 0,22 | 0,24 | 0,25 |
| 0,24 | 0,16 | 0,18 | 0,19 | 0,21 | 0,22 | 0,24 | 0,25 |
| 0,26 | 0,17 | 0,18 | 0,20 | 0,21 | 0,23 | 0,24 | 0,26 |
| 0,28 | 0,17 | 0,19 | 0,20 | 0,22 | 0,23 | 0,24 | 0,26 |

Tabela 4.2.1(a) - Valores de $r_{cc\lim}$ para seção T ($f_{ck} \leq 35$ MPa)

| $\beta_w \downarrow$ | 0,24 | 0,26 | 0,28 | 0,30 | 0,32 | 0,34 | 0,36 |
|----------------------|------|------|------|------|------|------|------|
| 0,04 | 0,24 | 0,26 | 0,28 | 0,30 | 0,32 | 0,34 | 0,36 |
| 0,06 | 0,25 | 0,27 | 0,28 | 0,30 | 0,32 | 0,34 | 0,36 |
| 0,08 | 0,25 | 0,27 | 0,29 | 0,30 | 0,32 | 0,34 | 0,36 |
| 0,10 | 0,25 | 0,27 | 0,29 | 0,31 | 0,32 | 0,34 | 0,36 |
| 0,12 | 0,25 | 0,27 | 0,29 | 0,31 | 0,32 | 0,34 | 0,36 |
| 0,14 | 0,26 | 0,27 | 0,29 | 0,31 | 0,33 | 0,34 | 0,36 |
| 0,16 | 0,26 | 0,28 | 0,29 | 0,31 | 0,33 | 0,34 | 0,36 |
| 0,18 | 0,26 | 0,28 | 0,29 | 0,31 | 0,33 | 0,34 | 0,36 |
| 0,20 | 0,26 | 0,28 | 0,30 | 0,31 | 0,33 | 0,34 | 0,36 |
| 0,22 | 0,27 | 0,28 | 0,30 | 0,31 | 0,33 | 0,34 | 0,36 |
| 0,24 | 0,27 | 0,28 | 0,30 | 0,31 | 0,33 | 0,34 | 0,36 |
| 0,26 | 0,27 | 0,29 | 0,30 | 0,32 | 0,33 | 0,35 | 0,36 |
| 0,28 | 0,27 | 0,29 | 0,30 | 0,32 | 0,33 | 0,35 | 0,36 |

Prof. José Milton de Araújo - FURG

7

Tabela 4.2.1(b) - Valores de $r_{cc\lim}$ para seção T ($f_{ck} > 35$ MPa)

| $\beta_w \downarrow$ | 0,10 | 0,12 | 0,14 | 0,16 | 0,18 | 0,20 | 0,22 |
|----------------------|------|------|------|------|------|------|------|
| 0,04 | 0,11 | 0,13 | 0,15 | 0,16 | 0,18 | 0,20 | 0,22 |
| 0,06 | 0,11 | 0,13 | 0,15 | 0,17 | 0,19 | 0,20 | 0,22 |
| 0,08 | 0,11 | 0,13 | 0,15 | 0,17 | 0,19 | 0,21 | 0,22 |
| 0,10 | 0,12 | 0,14 | 0,15 | 0,17 | 0,19 | 0,21 | 0,23 |
| 0,12 | 0,12 | 0,14 | 0,16 | 0,17 | 0,19 | 0,21 | 0,23 |
| 0,14 | 0,13 | 0,14 | 0,16 | 0,18 | 0,19 | 0,21 | 0,23 |
| 0,16 | 0,13 | 0,15 | 0,16 | 0,18 | 0,20 | 0,21 | 0,23 |
| 0,18 | 0,13 | 0,15 | 0,17 | 0,18 | 0,20 | 0,21 | 0,23 |
| 0,20 | 0,14 | 0,15 | 0,17 | 0,18 | 0,20 | 0,22 | 0,23 |
| 0,22 | 0,14 | 0,16 | 0,17 | 0,19 | 0,20 | 0,22 | 0,23 |
| 0,24 | 0,14 | 0,16 | 0,17 | 0,19 | 0,20 | 0,22 | 0,23 |
| 0,26 | 0,15 | 0,16 | 0,18 | 0,19 | 0,21 | 0,22 | 0,24 |
| 0,28 | 0,15 | 0,16 | 0,18 | 0,19 | 0,21 | 0,22 | 0,24 |

(Obs: $f_{ck} \leq 50$ MPa)

Prof. José Milton de Araújo - FURG

8

Tabela 4.2.1(b) - Valores de $r_{cc\lim}$ para seção T ($f_{ck} > 35$ MPa)

| $\beta_w \downarrow$ | 0,24 | 0,26 | 0,28 | 0,30 | 0,32 | 0,34 | 0,36 |
|----------------------|------|------|------|------|------|------|------|
| $\beta_f \downarrow$ | | | | | | | |
| 0,04 | 0,24 | 0,26 | 0,28 | | | | |
| 0,06 | 0,24 | 0,26 | 0,28 | | | | |
| 0,08 | 0,24 | 0,26 | 0,28 | | | | |
| 0,10 | 0,24 | 0,26 | 0,28 | | | | |
| 0,12 | 0,24 | 0,26 | 0,28 | | | | |
| 0,14 | 0,25 | 0,26 | 0,28 | | | | |
| 0,16 | 0,25 | 0,26 | 0,28 | | | | |
| 0,18 | 0,25 | 0,26 | 0,28 | | | | |
| 0,20 | 0,25 | 0,26 | 0,28 | | | | |
| 0,22 | 0,25 | 0,26 | 0,28 | | | | |
| 0,24 | 0,25 | 0,26 | 0,28 | | | | |
| 0,26 | 0,25 | 0,27 | 0,28 | | | | |
| 0,28 | 0,25 | 0,27 | 0,28 | | | | |

Dimensionar uma seção
retangular com largura b_f e
altura útil d (ver capítulo 3)

(Obs: $f_{ck} \leq 50$ MPa)

Tabela 4.2.2(a) - Valores de μ_{\lim} para seção T ($f_{ck} \leq 35$ MPa)

| $\beta_w \downarrow$ | 0,10 | 0,12 | 0,14 | 0,16 | 0,18 | 0,20 | 0,22 |
|----------------------|------|------|------|------|------|------|------|
| $\beta_f \downarrow$ | | | | | | | |
| 0,04 | 0,10 | 0,12 | 0,14 | 0,15 | 0,17 | 0,18 | 0,20 |
| 0,06 | 0,11 | 0,12 | 0,14 | 0,16 | 0,17 | 0,19 | 0,20 |
| 0,08 | 0,11 | 0,13 | 0,14 | 0,16 | 0,17 | 0,19 | 0,20 |
| 0,10 | 0,12 | 0,13 | 0,15 | 0,16 | 0,18 | 0,19 | 0,21 |
| 0,12 | 0,12 | 0,13 | 0,15 | 0,16 | 0,18 | 0,19 | 0,21 |
| 0,14 | 0,12 | 0,14 | 0,15 | 0,17 | 0,18 | 0,20 | 0,21 |
| 0,16 | 0,13 | 0,14 | 0,16 | 0,17 | 0,18 | 0,20 | 0,21 |
| 0,18 | 0,13 | 0,15 | 0,16 | 0,17 | 0,19 | 0,20 | 0,21 |
| 0,20 | 0,14 | 0,15 | 0,16 | 0,18 | 0,19 | 0,20 | 0,22 |
| 0,22 | 0,14 | 0,15 | 0,17 | 0,18 | 0,19 | 0,21 | 0,22 |
| 0,24 | 0,14 | 0,16 | 0,17 | 0,18 | 0,20 | 0,21 | 0,22 |
| 0,26 | 0,15 | 0,16 | 0,17 | 0,19 | 0,20 | 0,21 | 0,22 |
| 0,28 | 0,15 | 0,16 | 0,18 | 0,19 | 0,20 | 0,21 | 0,22 |

Tabela 4.2.2(a) - Valores de μ_{\lim} para seção T ($f_{ck} \leq 35$ MPa)

| $\beta_w \downarrow$ | 0,24 | 0,26 | 0,28 | 0,30 | 0,32 | 0,34 | 0,36 |
|----------------------|------|------|------|------|------|------|------|
| $\beta_f \downarrow$ | 0,21 | 0,23 | 0,24 | 0,26 | 0,27 | 0,28 | 0,30 |
| 0,04 | 0,22 | 0,23 | 0,24 | 0,26 | 0,27 | 0,28 | 0,30 |
| 0,06 | 0,22 | 0,23 | 0,25 | 0,26 | 0,27 | 0,28 | 0,30 |
| 0,08 | 0,22 | 0,23 | 0,25 | 0,26 | 0,27 | 0,28 | 0,30 |
| 0,10 | 0,22 | 0,23 | 0,25 | 0,26 | 0,27 | 0,28 | 0,30 |
| 0,12 | 0,22 | 0,23 | 0,25 | 0,26 | 0,27 | 0,28 | 0,30 |
| 0,14 | 0,22 | 0,24 | 0,25 | 0,26 | 0,27 | 0,28 | 0,30 |
| 0,16 | 0,22 | 0,24 | 0,25 | 0,26 | 0,27 | 0,28 | 0,30 |
| 0,18 | 0,23 | 0,24 | 0,25 | 0,26 | 0,27 | 0,28 | 0,30 |
| 0,20 | 0,23 | 0,24 | 0,25 | 0,26 | 0,27 | 0,28 | 0,30 |
| 0,22 | 0,23 | 0,24 | 0,25 | 0,26 | 0,27 | 0,29 | 0,30 |
| 0,24 | 0,23 | 0,24 | 0,25 | 0,26 | 0,28 | 0,29 | 0,30 |
| 0,26 | 0,23 | 0,24 | 0,25 | 0,27 | 0,28 | 0,29 | 0,30 |
| 0,28 | 0,23 | 0,25 | 0,26 | 0,27 | 0,28 | 0,29 | 0,30 |

Tabela 4.2.2(b) - Valores de μ_{\lim} para seção T ($f_{ck} > 35$ MPa)

| $\beta_w \downarrow$ | 0,10 | 0,12 | 0,14 | 0,16 | 0,18 | 0,20 | 0,22 |
|----------------------|------|------|------|------|------|------|------|
| $\beta_f \downarrow$ | 0,10 | 0,12 | 0,13 | 0,15 | 0,17 | 0,18 | 0,20 |
| 0,04 | 0,10 | 0,12 | 0,14 | 0,15 | 0,17 | 0,18 | 0,20 |
| 0,06 | 0,10 | 0,12 | 0,14 | 0,15 | 0,17 | 0,18 | 0,20 |
| 0,08 | 0,11 | 0,12 | 0,14 | 0,15 | 0,17 | 0,18 | 0,20 |
| 0,10 | 0,11 | 0,13 | 0,14 | 0,16 | 0,17 | 0,19 | 0,20 |
| 0,12 | 0,11 | 0,13 | 0,14 | 0,16 | 0,17 | 0,19 | 0,20 |
| 0,14 | 0,12 | 0,13 | 0,15 | 0,16 | 0,17 | 0,19 | 0,20 |
| 0,16 | 0,12 | 0,13 | 0,15 | 0,16 | 0,18 | 0,19 | 0,20 |
| 0,18 | 0,12 | 0,14 | 0,15 | 0,16 | 0,18 | 0,19 | 0,20 |
| 0,20 | 0,12 | 0,14 | 0,15 | 0,17 | 0,18 | 0,19 | 0,20 |
| 0,22 | 0,13 | 0,14 | 0,15 | 0,17 | 0,18 | 0,19 | 0,21 |
| 0,24 | 0,13 | 0,14 | 0,16 | 0,17 | 0,18 | 0,19 | 0,21 |
| 0,26 | 0,13 | 0,15 | 0,16 | 0,17 | 0,18 | 0,20 | 0,21 |
| 0,28 | 0,14 | 0,15 | 0,16 | 0,17 | 0,19 | 0,20 | 0,21 |

(Obs: $f_{ck} \leq 50$ MPa)

Tabela 4.2.2(b) - Valores de μ_{lim} para seção T ($f_{ck} > 35 \text{ MPa}$)

| $\beta_w \downarrow$ | 0,24 | 0,26 | 0,28 | 0,30 | 0,32 | 0,34 | 0,36 |
|----------------------|-------------|-------------|-------------|-------------|-------------|-------------|-------------|
| 0,04 | 0,21 | 0,23 | 0,24 | | | | |
| 0,06 | 0,21 | 0,23 | 0,24 | | | | |
| 0,08 | 0,21 | 0,23 | 0,24 | | | | |
| 0,10 | 0,21 | 0,23 | 0,24 | | | | |
| 0,12 | 0,21 | 0,23 | 0,24 | | | | |
| 0,14 | 0,22 | 0,23 | 0,24 | | | | |
| 0,16 | 0,22 | 0,23 | 0,24 | | | | |
| 0,18 | 0,22 | 0,23 | 0,24 | | | | |
| 0,20 | 0,22 | 0,23 | 0,24 | | | | |
| 0,22 | 0,22 | 0,23 | 0,24 | | | | |
| 0,24 | 0,22 | 0,23 | 0,24 | | | | |
| 0,26 | 0,22 | 0,23 | 0,24 | | | | |
| 0,28 | 0,22 | 0,23 | 0,24 | | | | |

Dimensionar uma seção
retangular com largura b_f e
altura útil d (ver capítulo 3)

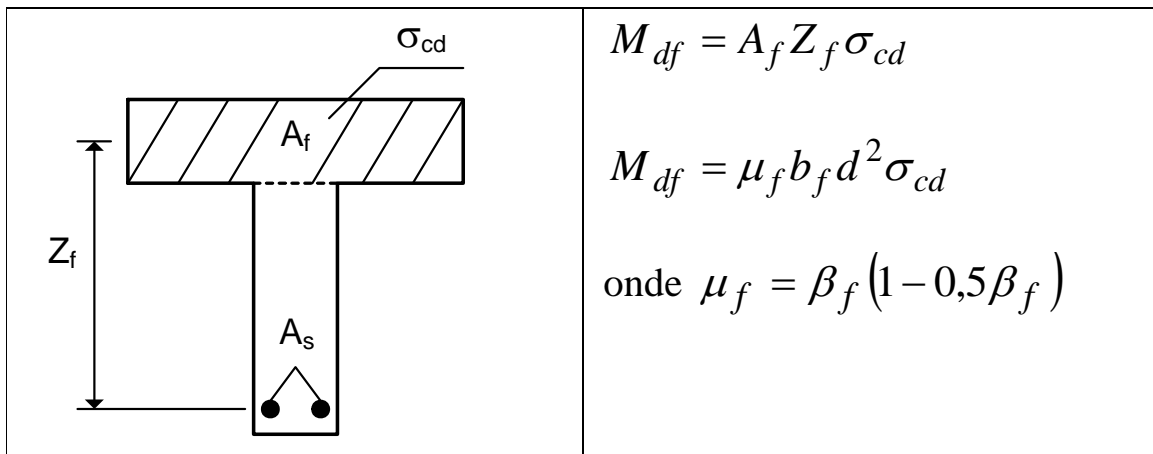
(Obs: $f_{ck} \leq 50 \text{ MPa}$)

Procedimento:

- dado M_d , calcular $\mu = \frac{M_d}{b_f d^2 \sigma_{cd}}$
- calcular μ_{lim} (ou ler valor na tabela 4.2.2)
- se resultar $\mu \leq \mu_{\text{lim}}$, adota-se armadura simples ($A'_s = 0$);
- se resultar $\mu > \mu_{\text{lim}}$, adota-se armadura dupla.

4.3 - Dimensionamento com armadura simples

Momento resistido pela mesa: M_{df}



- Se $\mu \leq \mu_f$, a mesa sozinha é capaz de absorver o momento fletor solicitante de cálculo.
- Se $\mu > \mu_f$, torna-se necessária a colaboração de parte da nervura.

Prof. José Milton de Araújo - FURG

15

- Serão apresentadas as expressões para as taxas mecânicas de armadura ω e ω' :

$$\omega = \frac{A_s}{b_f d} \frac{f_{yd}}{\sigma_{cd}} \quad ; \quad \omega' = \frac{A'_s}{b_f d} \frac{f_{yd}}{\sigma_{cd}}$$

A) Caso 1: $\mu \leq \mu_f$

- Neste caso, apenas uma parte da mesa estará comprimida com o bloco retangular de tensões.
- A situação é idêntica a de uma seção retangular com largura b_f e com altura útil d .

Podem-se empregar as expressões do capítulo 3, substituindo b por b_f .

$$\xi = \frac{1 - \sqrt{1 - 2\mu}}{\lambda} ; \quad \omega = \lambda \xi = 1 - \sqrt{1 - 2\mu} ; \quad A_s = \omega b_f d \frac{\sigma_{cd}}{f_{yd}}$$

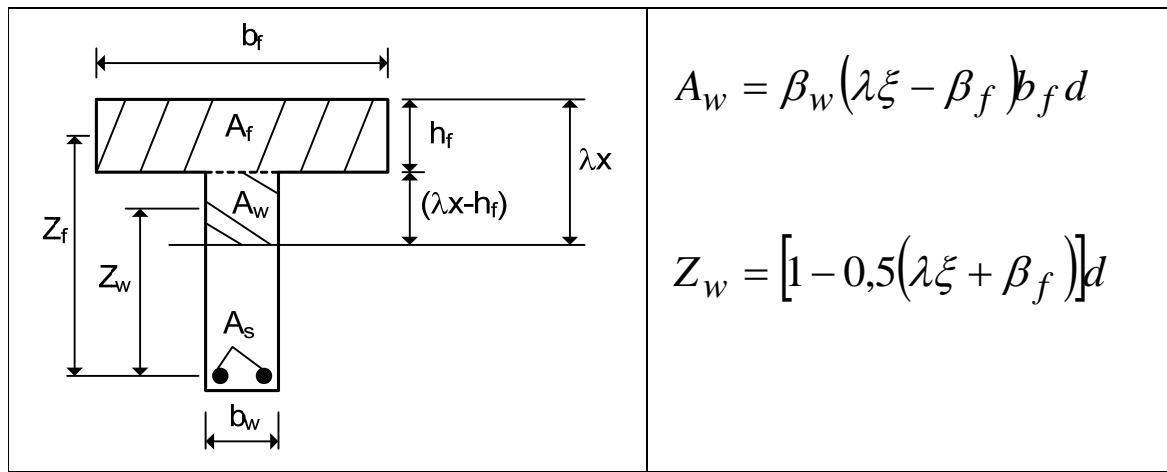
Lembrar que para seção T: $\mu = \frac{M_d}{b_f d^2 \sigma_{cd}}$

Prof. José Milton de Araújo - FURG

16

B) Caso 2: $\mu > \mu_f$

Neste caso, uma parte da nervura também estará comprimida com a tensão σ_{cd} .



I) Equilíbrio de momentos:

| | |
|---|-------------------------------------|
| $M_d = A_f Z_f \sigma_{cd} + A_w Z_w \sigma_{cd}$ | OBS: $M_{df} = A_f Z_f \sigma_{cd}$ |
|---|-------------------------------------|

Logo, a nervura absorverá a parcela $M_d - M_{df}$.

Substituindo as expressões de A_w e Z_w , resulta

$$M_d - M_{df} = \beta_w (\lambda\xi - \beta_f) [1 - 0,5(\lambda\xi + \beta_f)] b_f d^2 \sigma_{cd}$$

Introduzindo μ e μ_f \Rightarrow

$$0,5\lambda^2\xi^2 - \lambda\xi + \mu^* = 0 \quad (1)$$

onde $\mu^* = \frac{\mu - \mu_f}{\beta_w} + \mu_f$

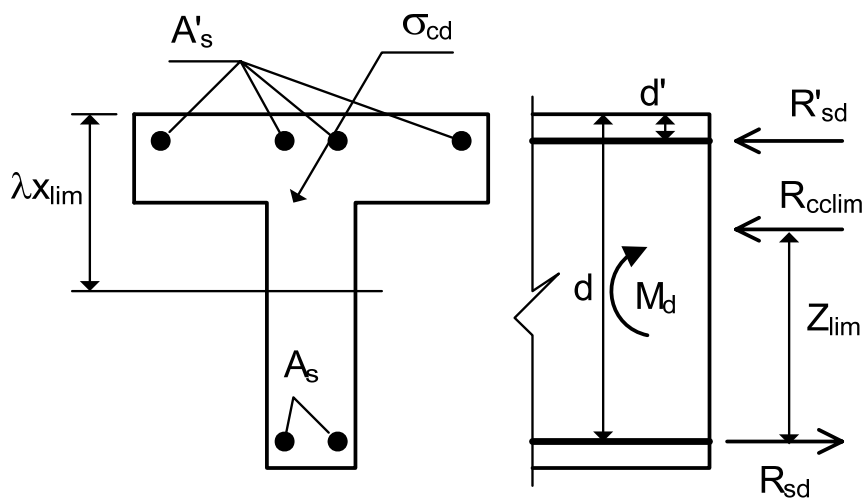
Resolvendo a equação (1) \Rightarrow

$$\xi = \frac{1 - \sqrt{1 - 2\mu^*}}{\lambda}$$

II) Equilíbrio de forças:

| | |
|---|---|
| $A_s f_{yd} = (A_f + A_w) \sigma_{cd} \Rightarrow \omega = \beta_f (1 - \beta_w) + \lambda \xi \beta_w$ | $A_s = \omega b_f d \frac{\sigma_{cd}}{f_{yd}}$ |
|---|---|

4.4 - Dimensionamento com armadura dupla



O procedimento é idêntico ao apresentado para as seções retangulares, bastando adotar as expressões corretas de R_{cclim} e de M_{dlim} .

| | |
|---|---|
| $\omega' = \frac{(\mu - \mu_{\lim}) f_{yd}}{(1-\delta) \sigma'_{sd}}$, com $\delta = d'/d$ | $A'_s = \omega' b_f d \frac{\sigma_{cd}}{f_{yd}}$ |
| $\omega = r_{cc\lim} + \frac{\mu - \mu_{\lim}}{1-\delta}$ | $A_s = \omega b_f d \frac{\sigma_{cd}}{f_{yd}}$ |

Para concretos do grupo I:

A tensão σ'_{sd} é dada na tabela 3.7.1 (capítulo 3)

Para concretos do grupo II, calcular σ'_{sd} como no capítulo 3.

4.5- Roteiro para dimensionamento de seções T

a) $\mu = \frac{M_d}{b_f d^2 \sigma_{cd}}$; $\beta_f = \frac{h_f}{d}$; $\beta_w = \frac{b_w}{b_f}$

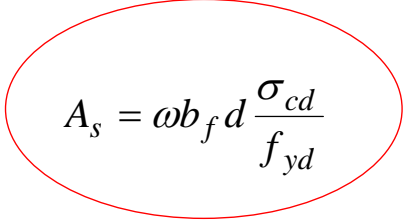
b) Calcular $r_{cc\lim}$ e μ_{\lim} (ou ler os valores nas tabelas 4.2.1 e 4.2.2).

c) Dimensionamento com armadura simples ($\mu \leq \mu_{\lim}$):

Calcular $\mu_f = \beta_f (1 - 0,5 \beta_f)$

Caso 1) $\mu \leq \mu_f \Rightarrow \omega = 1 - \sqrt{1 - 2\mu} \rightarrow$

Caso 2) $\mu > \mu_f \Rightarrow \mu^* = \frac{\mu - \mu_f}{\beta_w} + \mu_f$



$$A_s = \omega b_f d \frac{\sigma_{cd}}{f_{yd}}$$

$$\omega = \beta_f (1 - \beta_w) + \beta_w \left(1 - \sqrt{1 - 2\mu^*} \right) \rightarrow$$

d) Dimensionamento com armadura dupla ($\mu > \mu_{\text{lim}}$):

Calcular $\delta = d'/d$ e retirar a tensão σ'_{sd} da tabela 3.7.1.

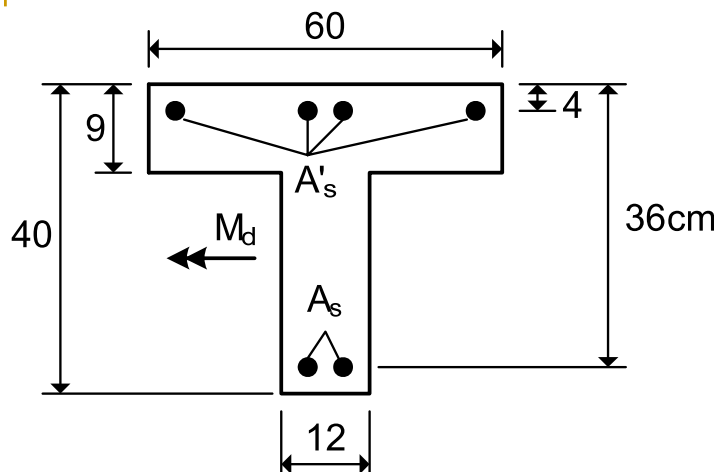
$$\omega' = \left(\frac{\mu - \mu_{\text{lim}}}{1 - \delta} \right) \frac{f_{yd}}{\sigma'_{sd}} \Rightarrow A'_s = \omega' b_f d \frac{\sigma_{cd}}{f_{yd}}$$

$$\omega = r_{cclim} + \frac{\mu - \mu_{\text{lim}}}{1 - \delta} \Rightarrow A_s = \omega b_f d \frac{\sigma_{cd}}{f_{yd}}$$

e) Armadura mínima: $A_{s,\text{min}} = \rho_{\text{min}} A_c$, onde A_c é a área da seção transversal, considerando-se a mesa e a nervura.

- Mesa comprimida: ρ_{min} é o mesmo das seções retangulares.
- Mesa tracionada: multiplicar ρ_{min} por 1,5.

4.6 - Exemplos de dimensionamento



Aço: CA-50

$$f_{yd} = 43,48 \text{ kN/cm}^2$$

$$\beta_f = \frac{h_f}{d} = \frac{9}{36} = 0,25$$

$$\beta_w = \frac{b_w}{b_f} = \frac{12}{60} = 0,20$$

Concreto: $f_{ck} = 20 \text{ MPa}$

$$\alpha_c = 0,85 ; \lambda = 0,8 ; \xi_{\text{lim}} = 0,45$$

$$\sigma_{cd} = \alpha_c f_{cd} = 0,85 \times \frac{20}{1,4} = 12,1 \text{ MPa} \Rightarrow \sigma_{cd} = 1,21 \text{ kN/cm}^2$$

$\beta_f < \lambda\xi_{\lim} = 0,36 \Rightarrow$ dimensionamento como seção T

Entrando nas tabelas 4.2.1-a e 4.2.2-a com $\beta_f = 0,25$ e $\beta_w = 0,20$, obtém-se $r_{cc\lim} = 0,270$ e $\mu_{\lim} = 0,235$.

A) Exemplo 1: $M_d = 150 \text{ kNm}$

$$\mu = \frac{M_d}{b_f d^2 \sigma_{cd}} = \frac{15000}{60 \times 36^2 \times 1,21} = 0,16$$

- Como $\mu < \mu_{\lim} \Rightarrow$ armadura simples.

$$\mu_f = \beta_f (1 - 0,5\beta_f) = 0,25(1 - 0,5 \times 0,25) = 0,22$$

- Como $\mu < \mu_f$, a mesa sozinha é capaz de resistir ao momento fletor de cálculo.

$$\omega = 1 - \sqrt{1 - 2\mu} = 1 - \sqrt{1 - 2 \times 0,16} = 0,175$$

$$A_s = \omega b_f d \frac{\sigma_{cd}}{f_{yd}} = 0,175 \times 60 \times 36 \times \frac{1,21}{43,48} \Rightarrow A_s = 10,52 \text{ cm}^2$$

$$A_c = 12 \times 31 + 60 \times 9 = 912 \text{ cm}^2 \text{ (área da seção transversal)}$$

$$\rho_{\min} = 0,15\% \text{ (tabela 3.11.1)}$$

$$A_{s,\min} = \rho_{\min} A_c = \frac{0,15}{100} \times 912 = 1,37 \text{ cm}^2 \text{ (menor do que } A_s).$$

Logo, a solução é $A_s = 10,52 \text{ cm}^2$.

B) Exemplo 2: $M_d = 250 \text{ kNm}$

$$\mu = \frac{M_d}{b_f d^2 \sigma_{cd}} = \frac{25000}{60 \times 36^2 \times 1,21} = 0,27$$

- Como $\mu > \mu_{\lim} = 0,235$, a solução será com armadura dupla.

$$\delta = \frac{d'}{d} = \frac{4}{36} = 0,11 \Rightarrow \sigma'_{sd} = 43,48 \text{ kN/cm}^2 \text{ (da tabela 4.4.1)}$$

$$\omega' = \left(\frac{\mu - \mu_{\lim}}{1 - \delta} \right) \frac{f_{yd}}{\sigma'_{sd}} = \left(\frac{0,27 - 0,235}{1 - 0,11} \right) \frac{43,48}{43,48} = 0,039$$

$$A'_s = \omega' b_f d \frac{\sigma_{cd}}{f_{yd}} = 0,039 \times 60 \times 36 \times \frac{1,21}{43,48} \Rightarrow A'_s = 2,34 \text{ cm}^2$$

Prof. José Milton de Araújo - FURG

27

$$\omega = r_{cc} \lim + \frac{\mu - \mu_{\lim}}{1 - \delta} = 0,270 + \frac{0,27 - 0,235}{1 - 0,11} = 0,309$$

$$A_s = \omega b_f d \frac{\sigma_{cd}}{f_{yd}} = 0,309 \times 60 \times 36 \times \frac{1,21}{43,48} \Rightarrow A_s = 18,57 \text{ cm}^2$$

Como $A_s > A_{s,\min}$, adota-se $A_s = 18,57 \text{ cm}^2$.

Resolver:**C) Exemplo 3:**

$M_d = 250 \text{ kNm}$ e concreto com $f_{ck} = 40 \text{ MPa}$

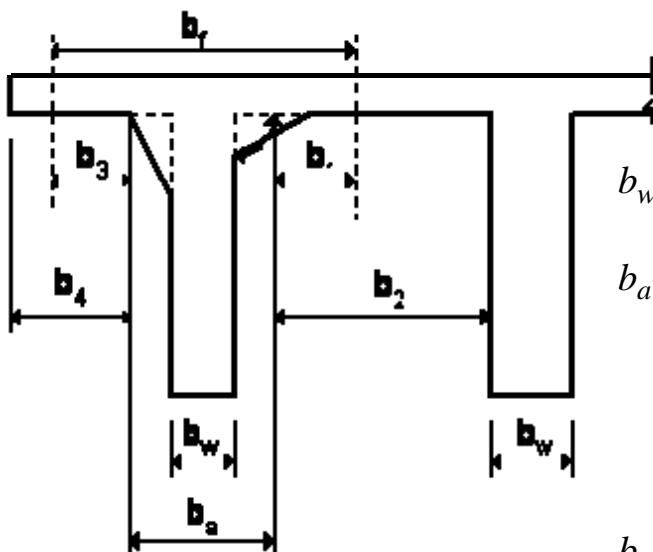
solução: $A_s = 16,90 \text{ cm}^2$; $A'_s = 0$

D) Exemplo 4:

$M_d = 250 \text{ kNm}$ e concreto com $f_{ck} = 70 \text{ MPa}$

solução: $A_s = 15,87 \text{ cm}^2$; $A'_s = 0$

4.7 – Determinação da largura efetiva da mesa



Largura efetiva da mesa
segundo a NBR-6118

b_w = largura real da nervura;

b_a = largura da nervura fictícia,
obtida aumentando-se a largura
real para cada lado de valor
igual ao menor cateto da mísula
correspondente;

b_2 = distância entre as faces de duas
nervuras sucessivas.

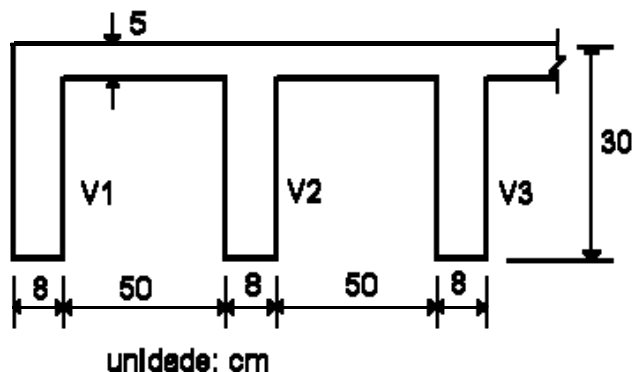
$$b_1 \leq \begin{cases} 0,1a \\ 0,5b_2 \end{cases} \quad b_3 \leq \begin{cases} 0,1a \\ b_4 \end{cases}$$

Largura efetiva da mesa: $b_f = b_3 + b_a + b_1$

Valores de a :

- viga simplesmente apoiada: $a = l$
- tramo com momento em uma só extremidade: $a = 0,75l$
- tramo com momentos nas duas extremidades: $a = 0,60l$
- tramo em balanço: $a = 2l$

Exemplo: Determinar a largura efetiva da mesa das vigas indicadas na figura abaixo. As vigas são simplesmente apoiadas com vão $l=5$ m.



$$a = l = 500 \text{ cm} \text{ (vistas simplesmente apoiadas);}$$

$$h_f = 5 \text{ cm} \text{ (espessura da mesa);}$$

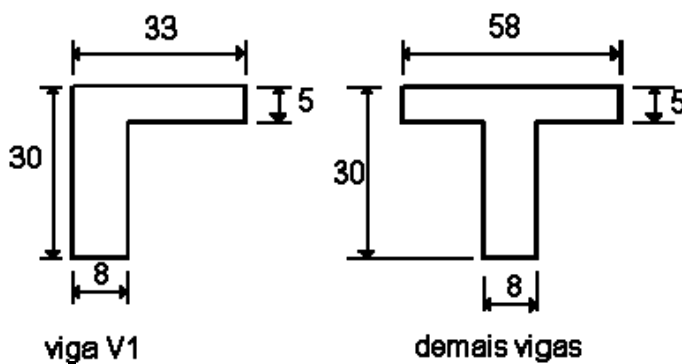
$$b_2 = 50 \text{ cm} \text{ (distância entre nervuras);}$$

$$b_a = b_w = 8 \text{ cm} \text{ (largura da nervura fictícia, pois não há míslulas).}$$

$$b_1 \leq \begin{cases} 0,1a = 0,1 \times 500 = 50 \text{ cm} \\ 0,5b_2 = 0,5 \times 50 = 25 \text{ cm} \end{cases} \Rightarrow b_1 = 25 \text{ cm}$$

Viga V1: $b_f = b_a + b_1 = 8 + 25 = 33 \text{ cm}$

Vistas V2, V3, etc.: $b_f = b_a + 2b_1 = 8 + 2 \times 25 = 58 \text{ cm}$



(Seções das vigas do piso)